

Содержание

1.3

Список элементарных частиц.

В этом пункте мы рассмотрим элементарные частицы стандартной модели обнаруженные и предсказанные.

Их можно условно разделить на три класса:

Вещество

Кварки

Кварки участвуют в сильных, слабых, электромагнитных и гравитационных взаимодействиях. Сильные взаимодействия (обмен глюоном) могут изменять цвет кварка, но не меняют его аромат. Слабые взаимодействия, наоборот, не меняют цвет, но могут менять аромат. Кварки имеют античастицы, обладающие такой же массой и обратным зарядом. Все кварки обладают спином $1/2$. Необычные свойства сильного взаимодействия приводят к тому, что одиночный кварк не может удалиться на какое-либо существенное расстояние от других кварков, а значит, кварки не могут наблюдаться в свободном виде. Математический аппарат теории кварков основан на экспериментально подтверждённом предположении, что взаимодействия кварков инвариантны относительно группы изоспиновых преобразований $SU(3)$

Символ кварка/антикварка (аромат)	Масса	заряд
u/\bar{u}	1.53	+2/3
d/\bar{d}	4.79 ± 0.07	-1/3
c/\bar{c}	1250 ± 90	+2/3
s/\bar{s}	95 ± 25	-1/3
t/\bar{t}	174340 ± 790	+2/3
b/\bar{b}	4200 ± 70	-1/3

Лептоны

Лептоны не участвуют в сильном взаимодействии. Они также обладают античастицами с противоположным зарядом и такой же массой. Все лептоны обладают спином $1/2$. Каждому заряженному лептону соответствует лёгкий нейтральный лептон — нейтрино. Ранее считалось, что каждое поколение лептонов обладает своим флейворным лептонным зарядом, — иными словами, лептон может возникнуть только вместе с антилептоном из своего поколения, так, чтобы разность количества лептонов и антилептонов каждого поколения в замкнутой системе была постоянной. Эта разность называется электронным, мюонным или тау-лептонным числом, в зависимости от рассматриваемого поколения. Лептонное число лептона равно +1, антилептона — -1. С открытием осцилляций нейтрино обнаружено, что это правило нарушается: электронное нейтрино может превратиться в мюонное или тау-нейтрино и т. д. Таким образом, флейворное лептонное число не сохраняется.

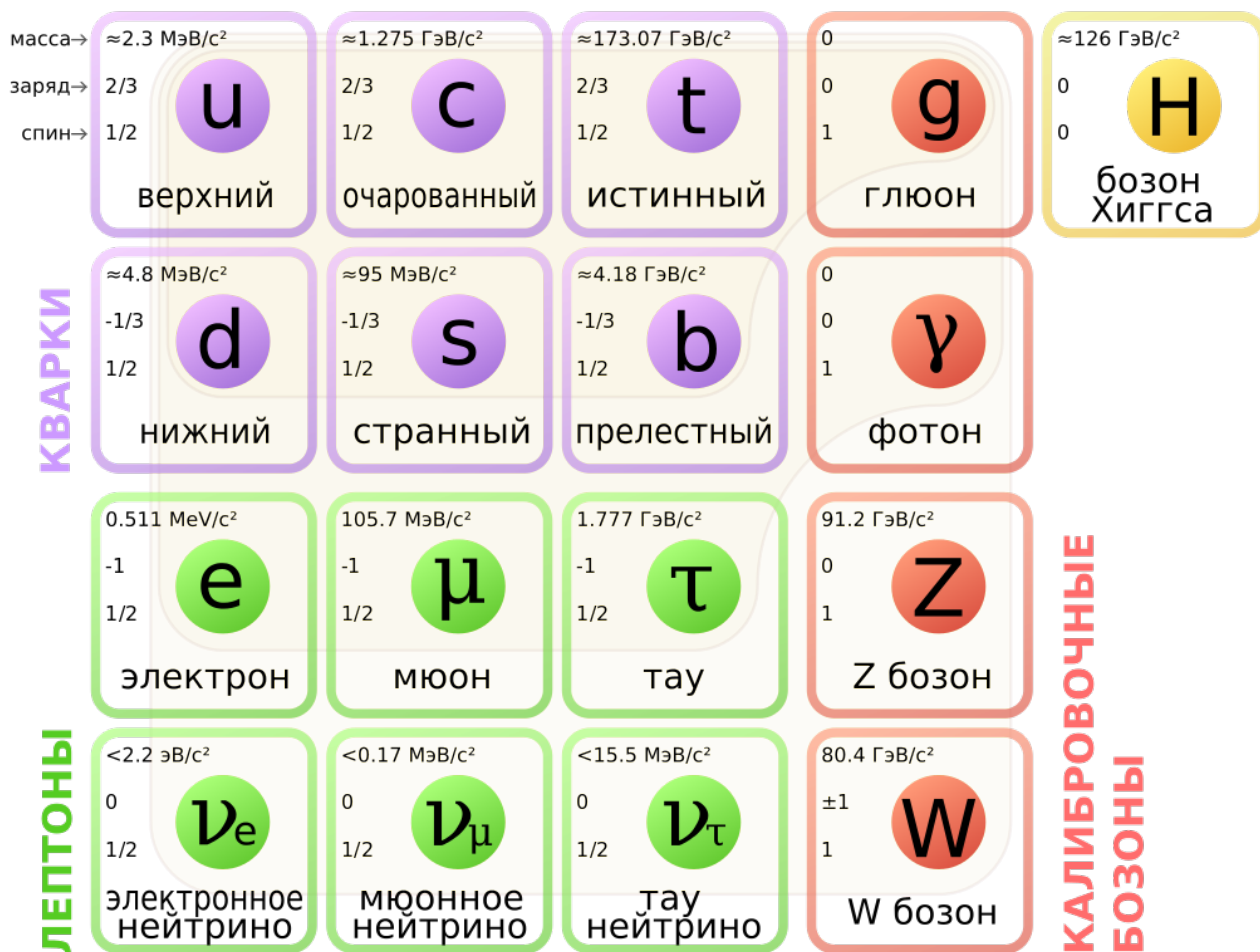
Название	Заряд	Масса (МэВ)
Электрон	-1	0.511
Мюон	-1	105.66
Тау-лептон	-1	1776.99
Электронное нейтрино	0	$< 2.2 \cdot 10^{-6}$
Мюонное нейтрино	0	< 0.17
Тау-нейтрино	0	< 15.5

Переносчики взаимодействия

Частицы переносчики четырех фундаментальных взаимодействий.

Название	Заряд (e)	Спин	Масса (ГэВ)	Переносимое взаимодействие
Фотон	0	1	0	Электромагнитное
W^{\pm}	± 1	1	80.4	Слабое взаимодействие
Z^0	0	1	91.2	Слабое взаимодействие
Глюон	0	1	0	Сильное взаимодействие
Бозон Хиггса	0	0	$\approx 125.09 \pm 0.24$	Инертная масса
Гравитон?	0	2	0	Гравитация

Гравитон является гипотетической частицей. Попытки расширить Стандартную модель гравитонами сталкиваются с серьёзными теоретическими сложностями в области высоких энергий (равных или превышающих планковскую энергию) из-за расходимостей квантовых эффектов. Решение этих вопросов было мотивом построения нескольких предложенных теорий квантовой гравитации.



1.4

Последовательность событий в космологии.

Возраст вселенной по разным данным 13.75 ± 0.13 (WMAP) или 13.81 ± 0.06 (Planck) гигаlet.

Время	Эпоха	События
0	Сингулярность	Большой взрыв
$0 - 10^{-43} \text{ с}$	Планковская эпоха	Рождение частиц
$10^{-43} - 10^{-35} \text{ с}$	Эпоха Великого объединения	Отделение гравитации от объединённого электрослабого и сильного взаимодействия. Возможное рождение монополей. Разрушение Великого объединения.
$10^{-35} - 10^{-32} \text{ с}$	Инфляционная эпоха	Вселенная экспоненциально увеличивает свой радиус на много порядков. Структура первичной квантовой флуктуации, раздуваясь, даёт начало крупномасштабной структуре Вселенной. Вторичный нагрев.

$10^{-32} - 10^{-12} \text{ с}$	Электрослабая эпоха	Вселенная заполнена кварк-глюонной плазмой, лептонами, фотонами, W- и Z-бозонами, бозонами Хиггса. Нарушение суперсимметрии.
$10^{-12} - 10^{-6} \text{ с}$	Кварковая эпоха	Электрослабая симметрия нарушена, все четыре фундаментальных взаимодействия существуют отдельно. Кварки ещё не объединены в адроны. Вселенная заполнена кварк-глюонной плазмой, лептонами и фотонами.
$10^{-6} - 100 \text{ с}$	Адронная эпоха	Адронизация. Аннигиляция барион-антибарионных пар. Благодаря CP-нарушению остаётся малый избыток барионов над антибарионами (около $1:10^9$).
100 секунд — 3 минуты	Лептонная эпоха	Аннигиляция лептон-антилептонных пар. Распад части нейтронов. Вещество становится прозрачным для нейтрино.
3 минуты — 380 000 лет	Протонная эпоха	Нуклеосинтез гелия, дейтерия, следов лития-7 (20 минут). Вещество начинает доминировать над излучением (70 000 лет), что приводит к изменению режима расширения Вселенной. В конце эпохи (380 000 лет) происходит рекомбинация водорода и Вселенная становится прозрачной для фотонов теплового излучения.
380 000 — 550 млн лет	Тёмные века	Вселенная заполнена водородом и гелием, реликтовым излучением, излучением атомарного водорода на волне 21 см. Звёзды, квазары и другие яркие источники отсутствуют.
(550 — 800) млн лет	Реионизация	Образуются первые звёзды (звёзды популяции III), квазары, галактики, скопления и сверхскопления галактик. Реионизация водорода светом звёзд и квазаров.
(0.8 — 8.9) млрд лет	Эра вещества	Образование межзвёздного облака, давшего начало Солнечной системе.
(8.9 — 9.1) млрд лет	Эра вещества	Образование Земли и других планет нашей Солнечной системы, затвердевание пород.

1.6

Чему "равна" сумма $\sum_{n=0}^{\infty} n!x^n$?

Пусть $f(n) = n!x^n$

Тогда заметим, что $f(n) = f(n-1) \cdot n \cdot x$

Тогда для любого $N > 0$ с некоторого места $f(n) = f(n-1) \cdot N \Rightarrow \sum_{n=0}^{\infty} f(n) = \sum_{n=0}^{\infty} n!x^n = \infty$.

1.7

Почему выживают мутации (не растворяются в популяции).

Для начала стоит отметить, что постановка вопроса некорректна, так как существуют мутации, которые вызывают быструю гибель организма, и таким образом мутация очень быстро вымывается из популяции. К таким можно отнести доминантные летальные мутации. Другое дело - рецессивные летальные мутации. Они очень устойчивы, и это крайне легко показать, используя общие соображения и закон Харди-Вайнберга:

$$p^2 + 2pq + q^2 = 1.$$

Отбор против рецессивной гомозиготы - пускай до полового созревания умрет w процентов особей с таким генотипом. Тогда рассчитаем изменение частоты аллеля a рассматриваемого гена за одно поколение:

$$q_1 = (q - pq^2)/(1 - wq^2), p_1 = p/(1 - wq^2),$$

$$\Delta q = q_1 - q = -wpq^2/(1 - wq^2).$$

Нормализованные частоты:

$$(aa)q^2 = q^2(1 - w)/(1 - wq^2), \quad (Aa)2pq = 2pq/(1 - wq^2), \quad (AA)p^2 = p^2/(1 - wq^2).$$

Пользуясь этой формулой, можно рассчитать, например, как будет убывать в популяции частота встречаемости летального рецессивного гена, вызывающего 100-процентную смертность гомозигот aa . Оказывается, что даже при столь жестком отборе смертоносный рецессивный ген сохраняется сотни поколений, выщепляясь постепенно из гетерозигот.

Т а б л и ц а 20

Изменение концентрации рецессивного аллеля по поколениям при условии $s = 1$

Поколения отбора	Концентрация (q) в % рецессивного аллеля (a)	Относительное количество в %		
		рецессивных гомозигот aa	гетерозигот Aa	доминантных гомозигот AA
1	0,500	25,00	50,00	25,00
2	0,333	11,11	44,44	44,44
3	0,250	6,25	37,50	56,25
4	0,200	4,00	32,00	64,00
5	0,167	2,78	27,78	69,44
9	0,100	1,00	18,00	81,00
10	0,091	0,83	16,53	82,64
20	0,048	0,23	9,07	90,70
30	0,032	0,10	6,24	93,65
40	0,024	0,06	4,76	95,18
50	0,020	0,04	3,84	96,12
100	0,010	0,01	1,96	98,03

2.3

Элементарные частицы и их свойства.

	Электрический заряд	Цветной заряд	Барионное число	Спин	Магнитный момент	Изоспин	Внутренняя четность
Протон	+1	"белый"	1	1/2	$1,41060679736(60) \cdot 10^{-26}$	1/2	1
Нейтрон	0	"белый"	1	1/2	$-9,6623651(23) \cdot 10^{-27}$	-1/2	1
	Электрический заряд	Цветной заряд	Барионное число	Спин	Слабый гиперзаряд	Изоспин	Четность
Пион	± 1	"белый"	0	0	0, -2, -1	± 1	-
	Электрический заряд	Цветной заряд	Лептонное число	Спин	Магнитный момент		Внутренняя четность
Электрон	-1	0	1	1/2	$-9,274009994(57) \cdot 10^{-24}$		1
	Электрический заряд	Цветной заряд	Лептонное число	Спин			
Мюон	-1	0	1	1/2			
	Электрический заряд	Цветной заряд	Лептонное число	Спин	Кол-во спиновых состояний		
τ -лептон	-1	0	1	1/2	2		
	Электрический заряд	Цветной заряд	Лептонное число	Спин	Слабый гиперзаряд		
Нейтрино	0	0	1	1/2	-1		
	Электрический заряд	Цветной заряд	Барионное число	Спин			
Кварк	кратен $e/3$	r, g, b	1/3	1/2			
	Электрический заряд	Цветной заряд		Спин	Количество спиновых состояний		
W^+ - бозон	+1	0		1	3		
W^- - бозон	-1	0		1	3		
Z - бозон	0	0		1	3		
	Электрический заряд	Цветной заряд		Спин	Кол-во спиновых состояний		Внутренняя четность
Глюон	0	$r\bar{r}, g\bar{g}, b\bar{b}, r\bar{g}, r\bar{b}, g\bar{b}$		1	2		-
	Электрический заряд	Цветной заряд		Спин	Кол-во спиновых состояний	Спиральность	Внутренняя четность
Фотон	0	0		1	2	± 1	-
	Электрический заряд	Цветной заряд		Спин			Четность
Бозон Хиггса	0	0		0			+1

Электрический заряд - квантовое число, определяющее способность частиц принимать участие в электромагнитном взаимодействии.

Цветной заряд — квантовое число, приписываемое глюонам и кваркам, которые участвуют в сильном взаимодействии. Цветов три: «красный», «зелёный» и «синий», хотя эти названия не имеют никакого отношения к цветам, которые мы видим в повседневной жизни, также существуют три антицвета.

Спин — собственный момент импульса элементарных частиц. Спин измеряется в единицах \hbar (постоянной Дирака) и равен $\hbar J$, где J — характерное для каждого сорта частиц целое или полуцелое положительное число — так называемое спиновое квантовое число, которое и приведено в таблице.

Изоспин — квантовое число, определяющая число зарядовых состояний адронов.

Магнитный момент — квантовое число, характеризующее магнитные свойства частицы. Измеряется в Дж/Тл.

Барионное число — квантовое число, определяющее количество барионов (элементарных частиц, состоящих из трёх кварков) в системе.

Лептонное число — разность числа лептонов (частиц с полуцелым спином, не участвующих в сильном взаимодействии) и антилептонов в данной системе.

Спиральность — квантовое число, используемое при описании элементарных частиц, движущихся со скоростью света или близкой к ней.

1.8

Что такое глобальное потепление?

Глобальное потепление это антропогенное повышение средней температуры климатической системы Земли за длительный промежуток времени. Климатической системой называют объединение атмосферы, гидросферы, криосферы, литосферы и биосферы. Многочисленные независимые наборы данных подтверждают, что десятилетие 2009-2018 годов было на $0,93 \pm 0,07$ °C теплее доиндустриального периода (1850-1900). В настоящее время температура поверхности повышается примерно на 0,2 °C в десятилетие. Климатическая модель прогнозирует, что в 21 веке средняя температура всей поверхности Земли может вырасти еще на 0,3-1,7 °C при умеренном сценарии или даже на 2,6-4,8 °C при экстремальном сценарии.

Последствия глобального потепления включают повышение уровня моря, региональные изменения осадков, учащение экстремальных погодных явлений, таких как аномальная жара, и расширение пустынь. Закисление океана также вызвано выбросами парниковых газов и обычно группируется с этими последствиями, даже если оно не обусловлено растущей температурой. Наибольшее повышение температуры поверхности наблюдается в Арктике, что способствовало таянию ледников, вечной мерзлоты и морского льда. В целом, повышение температуры приводит к увеличению количества осадков и снегопадов, но в некоторых регионах наоборот засухи и лесные пожары усилятся. Изменение климата угрожает снижением урожайности сельскохозяйственных культур, подрывает продовольственную безопасность, а повышение уровня моря может привести к затоплению прибрежной инфраструктуры и вынудить покинуть многие прибрежные города. Экологические последствия включают исчезновение или перемещение многих видов по мере изменения их экосистем, в первую очередь коралловых рифов, гор и Арктики.

1.9

Чему равна скорость звука в различных средах?

Скорость звука в жидкости или газе вычисляется по следующей формуле:

$$c = \sqrt{\frac{1}{\beta\rho}}$$

Для воздуха при нормальных условиях $C_v = 331.46$ м/с

Для воды при нормальных условиях $C_{h20} = 1500$ м/с

Скорость звука в кристалле можно посчитать по формуле

$$v = \sqrt{\frac{k}{m}}d$$

Где d - период кристаллической решетки, k - коэффициент квазиупругой силы, а m масса молекулы (атома).

1.10

Сколько тепла выделяется при стирании одного бита информации?

Почему рассеивается энергия? Логическая необратимость и ее связь с диссипациями.

Назовем устройство логически необратимым, если по сигналу на выходе нельзя однозначно определить сигнал на входе. Логическая необратимость предполагает физическую необратимость, которая приводит к диссипативным эффектам.

Пример

Примером необратимой логической функции истинности может являться установление в единицу. Покажем необратимость. Бинарное устройство представляет собой частицу в бистабильной потенциальной яме. Если бы мы могли перевести частицу из состояния ноль или единица в единицу без потерь энергии, то так как система консервативна, "обратив" время, мы получим систему, которая по-прежнему будет удовлетворять уравнениям движения. В этой системе для одного начального условия результатом будут два состояния (ноль и единица), однако законы механики полностью детерминированы, и траектория определяется начальным положением и скоростью.

Энтропия

Остается изучить связь между логической необратимостью и энтропией:

$$S = k \ln W, \quad (1)$$

где k – постоянная Больцмана, W – статистическая вероятность (число микросостояний, реализующее данное макросостояние системы).

При стирании число состояний уменьшается в 2 раза, то есть энтропия уменьшается на $k \ln 2$. Энтропия замкнутой системы не может уменьшаться, следовательно она должна проявиться в виде эффекта нагревания, тогда выделится $E \geq kT \ln 2$ (**Принцип Ландауэра**).

Ограничения, накладываемые принципом Ландауэра можно обойти путём реализации обратимых вычислений, при этом возрастают требования к объёму памяти и количеству вычислений.

2.5

Как проявляются законы Кеплера в атоме водорода?

Задача Кеплера, это когда:

$$\mathbf{F} = \frac{k}{r^2} \hat{\mathbf{r}}$$

$V(r) = \frac{k}{r}$, где $V(r)$ - потенциальная энергия

Нетрудно заметить, что в модели атома Бора для водорода эти условия выполняются.

Таким образом, можно применить к движению электрона в атоме водорода и получить:

1. электрон движется по эллипсу(окружности)(1 закон Кеплера)
2. за равное время заметает равные секторальные площади(2 закон Кеплера)
3. 3 закон Кеплера

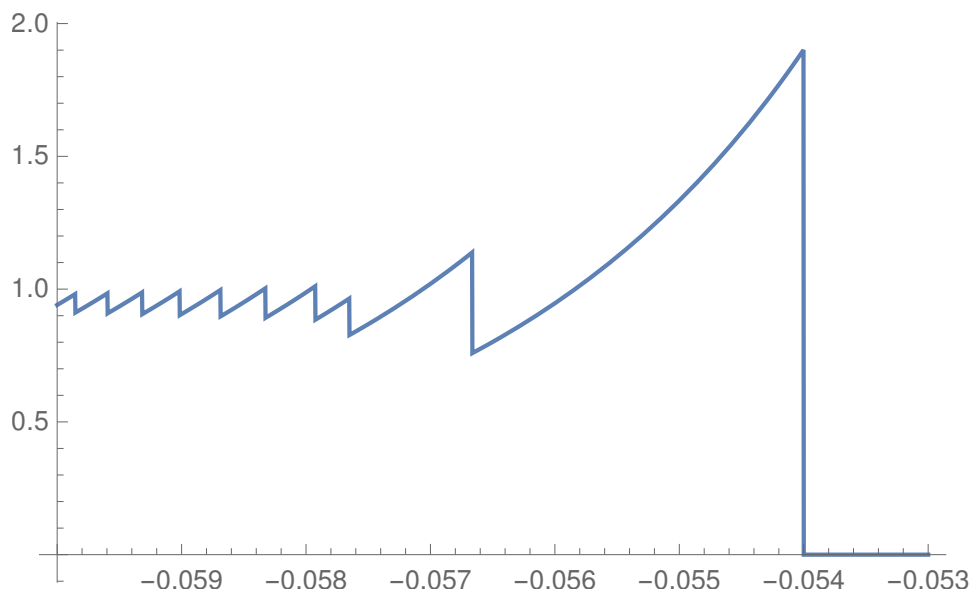
А исходя из этих законов можно посчитать период обращения электрона на разных энергетических уровнях, различные параметры траектории и т.д.

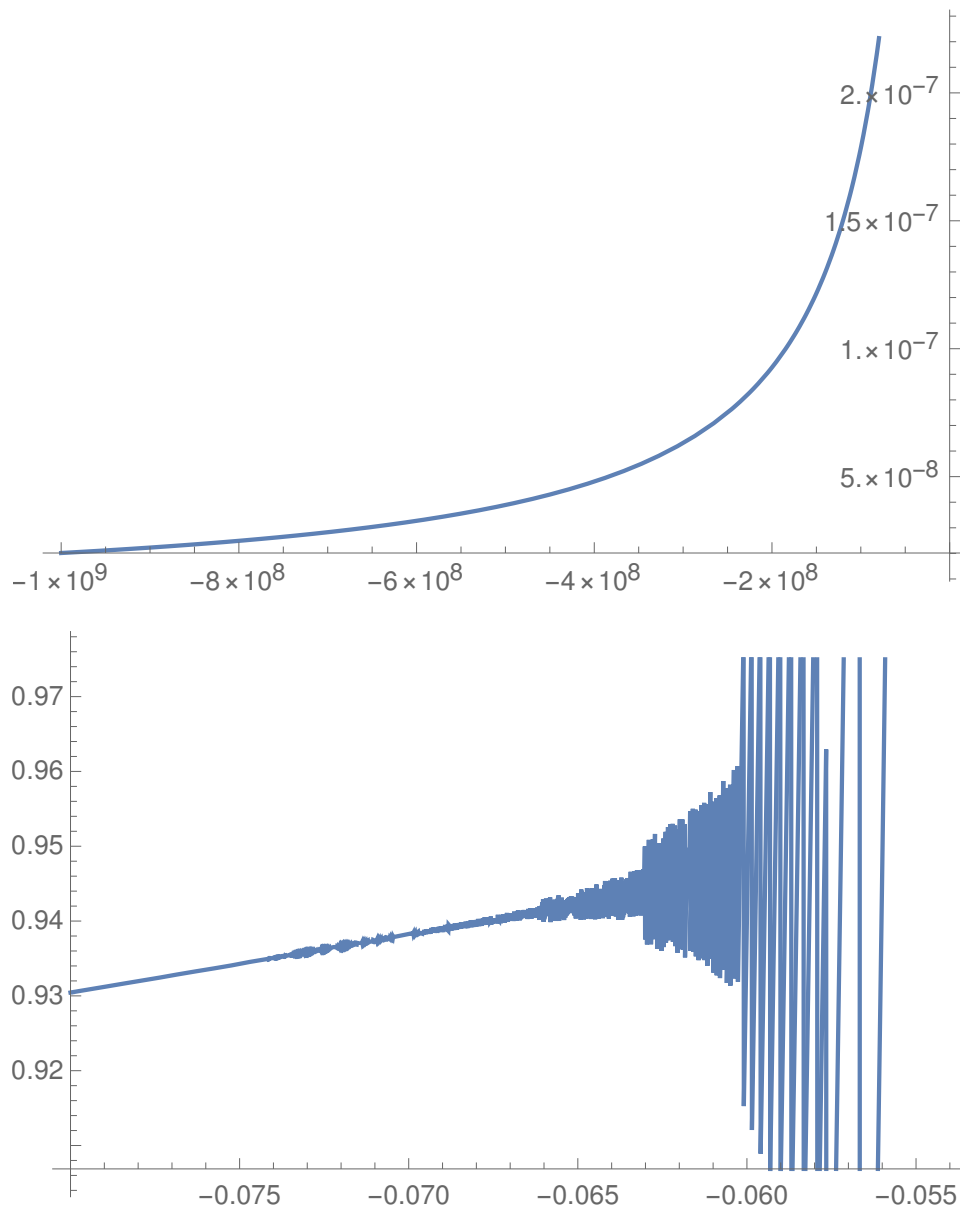
2.6

Чему "равны" интегралы

$$\int_0^\infty \frac{e^{-z}}{(1-xz)} dz = \frac{e^{-1/x} \left(\text{Chi}\left(\frac{1}{x}\right) + \text{Shi}\left(\frac{1}{x}\right) - \log\left(\frac{1}{x}\right) - \log(-x) \right)}{x}, \Im(x) \neq 0 \vee \Re(x) \leq 0$$

Как видно из графиков максимальное значение интеграла ≈ 1.92 и достигается при $x = -0,054$ При $x > -0,054$ значение интеграла 0 При $x < -0.054$ значение будет "осциллировать" с убывающей амплитудой, а "среднее" будет просто убывать, стремясь к 0



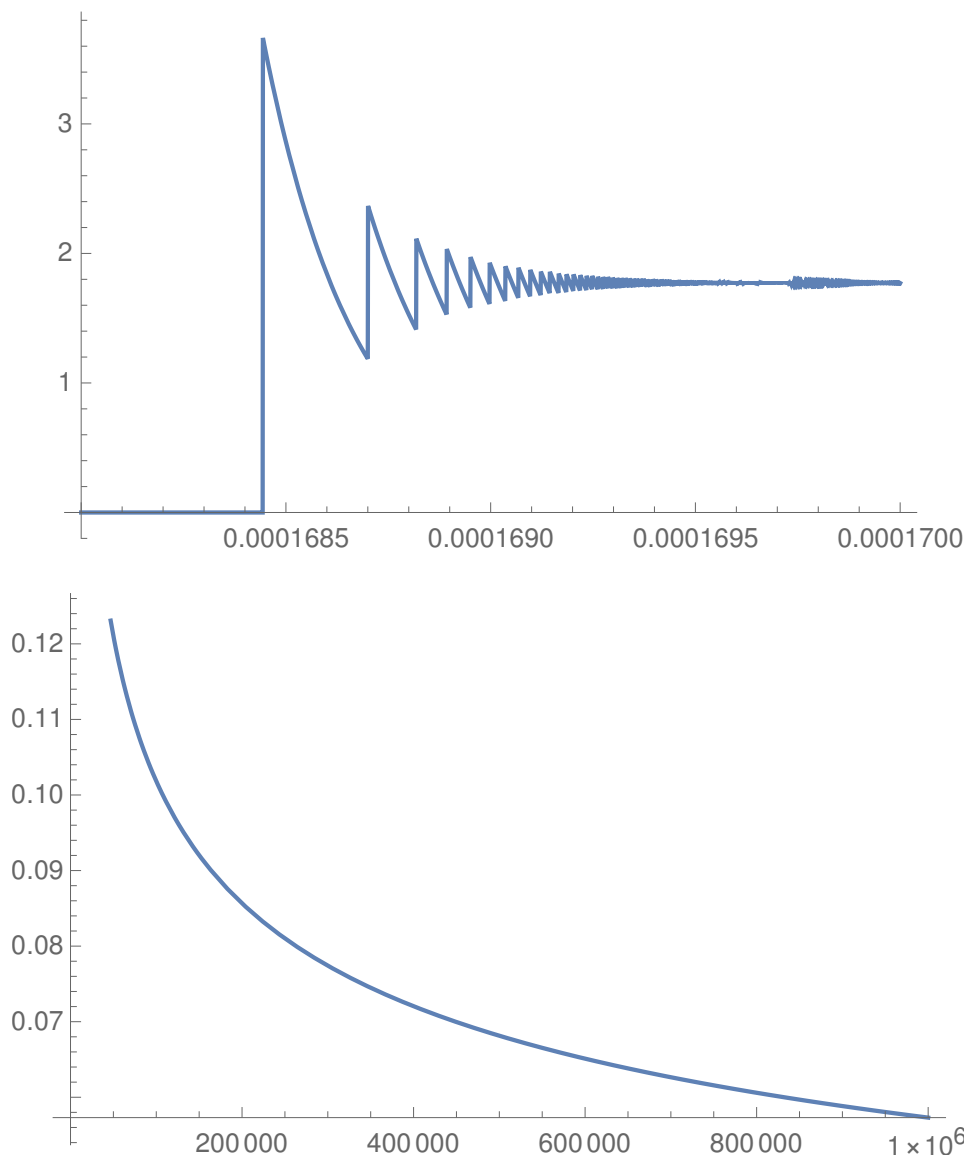


$$\int_{-\infty}^{\infty} e^{-xz^4 - z^2} dz = \frac{e^{\frac{1}{8x}} K_{\frac{1}{4}}\left(\frac{1}{8x}\right)}{2\sqrt{x}}, \Re(x) > 0$$

Как видно из графиков максимальное значение интеграла ≈ 3.68 при $x \approx 0.0001684$

При $x <$ значения максимума значение интеграла равно 0

При $x >$ значения максимума значение интеграла начинает "осциллировать" а "среднее" будет убывать, стремясь к 0



2.7

Отличия ДНК от РНК

1. Мономерная единица ДНК — дезоксирибонуклеотид, РНК — рибонуклеотид. Рибонуклеотид образован рибозой, азотистым основанием и остатком фосфорной кислоты. Рибоза — пятиуглеродный моносахарид. Рибоза, входящая в состав биологических структур, обладает свойством хиральной чистоты: молекулы РНК построены исключительно на «правой» рибозе. Дезоксирибонуклеотид образован дезоксирибозой, азотистым основанием и остатком фосфорной кислоты. Дезоксирибоза — производное рибозы, где гидроксильная группа у второго атома углерода замещена водородом с потерей атома кислорода (дезоксификация — отсутствие атома кислорода). Таким образом, у рибозы есть дополнительная, по сравнению с дезоксирибозой, гидроксильная группа. Эта группа увеличивает вероятность гидролиза молекулы, то есть уменьшает стабильность молекулы РНК.
2. Азотистые основания в молекуле ДНК — тимин, аденин, цитозин, гуанин; в РНК же комплементарный аденину нуклеотид — не тимин, а урацил — метилированная форма тимина.
3. Отличаются функции молекул. ДНК является матрицей для транскрипции, она хранит генетическую информацию. Основная функция молекулы ДНК в клетках — точное сохранение информации о строении белков и РНК. РНК же участвует в синтезе белка: информационная РНК (иРНК) синтезируется на основе ДНК в ходе транскрипции, после чего, в свою очередь, используется в ходе

трансляции как матрица для синтеза белков; транспортная РНК (тРНК) отвечает за доставку аминокислот к рибосомам; рибосомная РНК является составляющей рибосом, она считывает информацию с иРНК и катализирует образование пептидных связей между присоединёнными к тРНК аминокислотами. У молекул РНК есть и другие функции: например, малые ядерные РНК принимают участие в сплайсинге эукариотических матричных РНК и других процессах.

Есть исключение: РНК является составной частью геномов большинства вирусов, у которых она выполняет ту же функцию, что и ДНК у высших организмов.

4. ДНК существует в форме двойной спирали, состоящей из двух отдельных молекул. Молекулы РНК, в среднем, гораздо короче и преимущественно одноцепочечные. Структурный анализ биологически активных молекул РНК, включая тРНК, рРНК и другие молекулы, которые не кодируют белков, показал, что они состоят не из одной длинной спирали, а из многочисленных коротких спиралей, расположенных близко друг к другу и образующих нечто, похожее на третичную структуру белка. В результате этого РНК может катализировать химические реакции, например, пептидил-трансферазный центр рибосомы, участвующий в образовании пептидной связи белков, полностью состоит из РНК.

2.8

Параметры, характеризующие глобальное потепление.

1. Средняя приповерхностная температура воздуха

За период 1901-2012 гг. она выросла на $(0,89 \pm 0,20)^\circ\text{C}$. Данные о динамике средней годовой температуры на планете можно найти, например, на сайте Университета Восточной Англии (рис. 1), на сайте американского Национального управления океанических и атмосферных исследований и на сайте Института космических исследований Годдарда, входящего в NASA. Наибольшее потепление произошло за последние 35 лет, причём пять самых тёплых лет за всю историю наблюдений имели место с 2010 года. 2016 год был самым тёплым за всю историю наблюдений, причём восемь из 12 месяцев, составляющих год - с января по сентябрь, за исключением июня - были самыми тёплыми за всю историю наблюдений за эти месяцы.

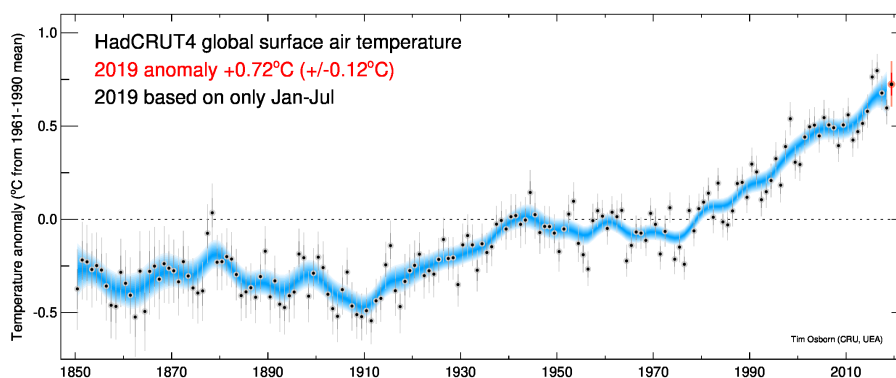


Рис. 1: Зависимость разности глобальной средней приповерхностной температуры воздуха и её среднего значения в период 1961-1990 гг. от времени

2. Рост теплосодержания океана

Океаны поглощают большое количество выделяющегося тепла. С 1969 г. температура верхних 700 м океана выросла более чем на $0,2^\circ\text{C}$ (Levitus et al, 2017).

3. Рост уровня мирового океана (вызванный термическим расширением воды при нагревании и таянием ледяного покрова)

Согласно данным Института космических исследований Годдарда (рис. 2), с 1993 года уровень мирового океана вырос на (95 ± 4) мм. Текущая скорость увеличения уровня — $(3,3 \pm 0,4)$ мм/год. По данным австралийского Государственного объединения научных и прикладных исследований (рис. 3), с 1880 г. уровень океана вырос примерно на 230 мм.

4. Уменьшение площади арктического морского льда

Годовой минимум площади арктического морского льда достигается в сентябре. По данным NASA (рис. 4), в 1980 г. площадь сентябрьского льда составляла 7,67 млн км², в 2019 г. — 4,32 млн км²;

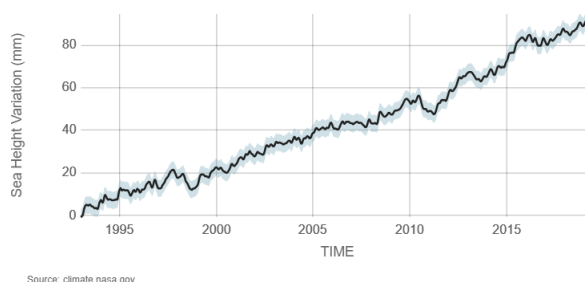


Рис. 2: Зависимость изменения уровня мирового океана по сравнению с 1993 г. от времени

Data source: Coastal tide gauge records.
Credit: [CSIRO](#)

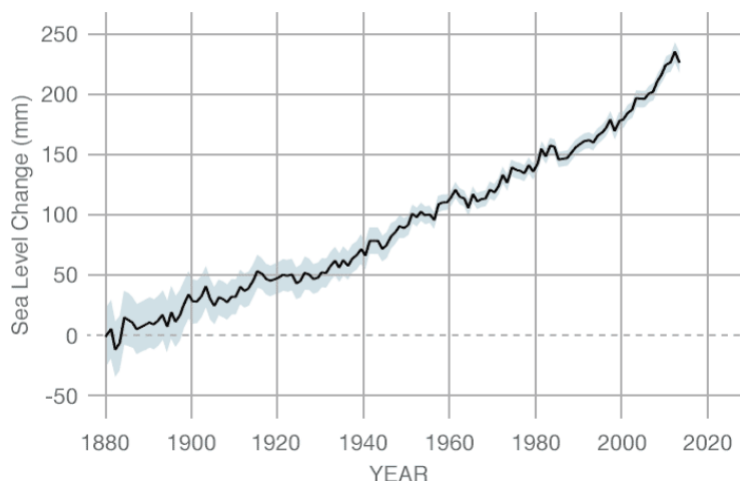


Рис. 3: Зависимость изменения уровня мирового океана по сравнению с 1880 г. от времени

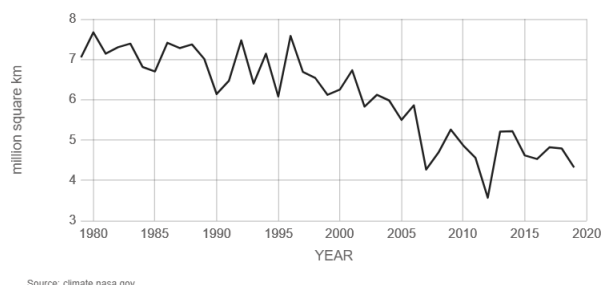


Рис. 4: Зависимость площади сентябрьского морского льда в Арктике от года

5. Уменьшение ледяных покровов

По данным NASA, Гренландия в среднем теряет 286 млрд тонн льда в год в период с 1993 по 2016 г., в то время как Антарктика в этот же самый период теряет в среднем 127 млрд тонн льда в год. При этом внутренние области Восточной Антарктики наращивают лёд, однако в целом она теряет его с ускоряющимся темпом.

6. Увеличение концентрации углекислого газа в атмосфере

Согласно данным Национального управления океанических и атмосферных исследований (рис. 5), в октябре 2019 г. концентрация углекислого газа в атмосфере составляла 412 ppm. Это самое большое значение величины как минимум за последние 400 тысяч лет (рис. 5).

В настоящее время подавляющее большинство специалистов-климатологов считают, что основная причина быстрого изменения климата — деятельность человека (Cook et al, 2013). Вот некоторые факты, которые позволяют проследить эту связь:

- В атмосфере растёт количество углекислого газа — сейчас оно почти в полтора раза превышает максимумы за последние 400 тысяч лет.

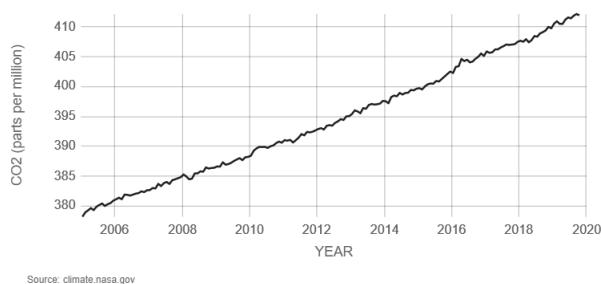


Рис. 5: Зависимость концентрации углекислого газа в атмосфере от времени с 2006 г.

Data source: Reconstruction from ice cores.
Credit: NOAA

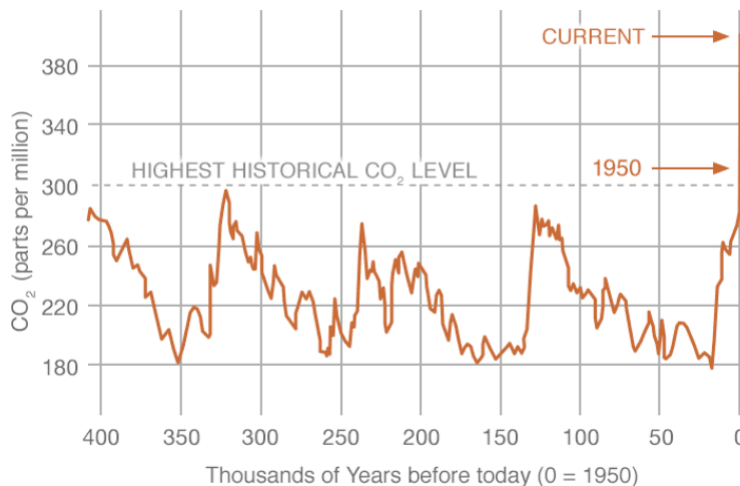


Рис. 6: Зависимость концентрации углекислого газа в атмосфере от времени за последние 400 тысяч лет

- Сжигание ископаемых топлив является основной причиной антропогенной эмиссии CO_2 . В северном полушарии, где сжигается большая часть топлива, концентрация CO_2 выше, чем в южном.
- Концентрация кислорода падает так, как было бы, если бы он полностью уходил на сжигание топлива.
- В атмосферном углекислом газе становится относительно меньше изотопов углерода-14 и углерода-13, которых нет в нефти и угле.
- CO_2 является парниковым газом.
- Глобальная температура быстро растёт. При этом интенсивность солнечного излучения в последние 35 лет падает. Это и другие доказательства опровергают возможность связи нынешнего увеличения температуры с солнечной активностью, о которой говорят некоторые противники теории антропогенного изменения климата. Кроме того, некоторые учёные предполагают, что это уменьшение солнечной активности может быть началом "большого минимума" наподобие маундеровского. Однако в ряде статей (см. сноску 2, climate.nasa.gov/blog/2910/what-is-the-suns-role-in-climate-change/) делается вывод, что это может в лучшем случае на несколько лет замедлить вызванное человеком потепление.

Некоторые скептики говорят о том, что нынешнее потепление — естественное явление, подобное случавшимся ранее в истории Земли. Сторонники теории антропогенной природы потепления отвечают следующим образом: естественные климатические изменения в прошлом подтверждают, что климат чувствителен к энергетическому дисбалансу. Если планета аккумулирует тепло, глобальные температуры будут расти. В настоящее время CO_2 вызывает энергетический дисбаланс благодаря парниковому эффекту. Изменения климата в прошлом на самом деле подтверждают чувствительность климата к CO_2 , а увеличение количества CO_2 вызвано деятельностью человека.

3.4

В чем состоит, зачем нужна и в чем проявляется космологическая инфляция.

Инфляционные модели рассматриваются на стр. 233-250 Космология, URSS Москва, 2 изд., 2018.

Суть: Идея инфляции предполагает наличие эпохи экспоненциального роста масштабного фактора (t), предшествующей эре доминирования излучения ($a(t) \sim \sqrt{t}$).

Необходимость: Алан Гут обнаружил, что наличие инфляционного периода способно разрешить ряд проблем космологии а) Плоскостность (необходимость объяснить, как Вселенной на ранних стадиях удавалось поддерживать околонулевую кривизну) б) Горизонты (в период доминирования вещества или излучения никакое физическое воздействие не могло сгладить начальные неоднородности, а в период инфляции наблюдаемая нами часть Вселенной могла занимать крошечный объём и с тех пор дать всему внутри этого объёма распределиться однородно) в) Монополи (классическая модель большого взрыва предсказывала в наблюдаемой Вселенной число монополей, значительно расходящееся с полученными данными)

Проявления: Помимо согласования наблюдаемых данных и теории касательно указанных выше величин, инфляционные модели смогли предсказать некоторые свойства флуктуаций реликтового излучения и крупномасштабной структуры Вселенной. Это делает идею инфляции ещё более правдоподобной.

3.5

Симметрии и законы сохранения при движении частицы в кулоновском поле.

В кулоновском поле у частицы сохраняется энергия, момент импульса и вектор Рунге-Ленца.

Энергия:

$$E = \frac{M}{2} \dot{r}^2 + \frac{L^2}{2Mr^2} - \frac{k}{r} = const$$

Где $\mathbf{L} = [\mathbf{r} \times \mathbf{P}]$ - момент импульса частицы, M - ее приведенная масса, $U = -\frac{k}{r}$ - потенциальная энергия, а r - радиус вектор из начала координат.

Разберемся с моментом импульса тела, т.к. момент силы, действующей на частицу нулевой, то:

$$\mathbf{M} = [\mathbf{r} \times \mathbf{F}] = 0; \quad [\mathbf{r} \times \frac{d\mathbf{P}}{dt}] = 0$$

Следовательно момент импульса L :

$$\frac{d}{dt}[\mathbf{r} \times \mathbf{P}] = [\mathbf{r} \times \frac{d\mathbf{P}}{dt}] + [\frac{d\mathbf{r}}{dt} \times \mathbf{P}] = [\mathbf{r} \times \frac{d\mathbf{P}}{dt}] = 0$$

Т.е. $\frac{d\mathbf{L}}{dt} = 0$, значит $L = [\mathbf{r} \times \mathbf{P}] = const$

Определим вектор Рунге-Ленца, как:

$$\mathbf{A} = [\mathbf{P} \times \mathbf{L}] - Mk\hat{\mathbf{r}}$$

Данный вектор также сохраняется в кулоновском поле:

$$\mathbf{F} = \frac{d\mathbf{P}}{dt} = f(r) \frac{\mathbf{r}}{|\mathbf{r}|} = f(r)\hat{\mathbf{r}}$$

Т.к. $L = const$

$$\frac{d}{dt}[\mathbf{P} \times \mathbf{L}] = \frac{d\mathbf{P}}{dt} \times \mathbf{L} = f(r)\hat{\mathbf{r}} \times \left(\mathbf{r} \times M \frac{d\mathbf{r}}{dt} \right) = f(r) \frac{M}{r} \left[\mathbf{r} \left(\mathbf{r} \frac{d\mathbf{r}}{dt} \right) - r^2 \frac{d\mathbf{r}}{dt} \right]$$

Откуда получаем:

$$\frac{d}{dt}[\mathbf{P} \times \mathbf{L}] = -Mf(r)r^2 \left[\frac{1}{r} \frac{d\mathbf{r}}{dt} - \frac{\mathbf{r}}{r^2} \frac{dr}{dt} \right]$$

При $f(r) = -\frac{k}{r^2}$, последнее выражение равно:

$$\frac{d}{dt}[\mathbf{P} \times \mathbf{L}] = Mk \frac{d}{dt} \left(\frac{\mathbf{r}}{r} \right) = \frac{d}{dt}(Mk\hat{\mathbf{r}})$$

Тогда изменение вектора:

$$\frac{d}{dt}\mathbf{A} = \frac{d}{dt}[\mathbf{P} \times \mathbf{L}] - \frac{d}{dt}(Mk\hat{\mathbf{r}}) = 0$$

Отсюда получаем, что в кулоновском поле существует однородность времени, изотропность пространства, а также некоторая симметрия вектора Рунге-Ленца

3.7

Зависимость высоты прыжка от массы тела.

Определим вклад сопротивления воздуха в зависимость высоты прыжка от массы тела. Для этого рассмотрим вертикальный прыжок человека. По 2-му закону Ньютона относительно вертикальной оси Ox , направленной вверх: $ma_x(t) = -mg - kv_x^\alpha(t)$, где $\alpha = 1; 2$ в зависимости от вида обтекания. Тогда нам нужно сравнить слагаемые $-mg$ и $-kv^\alpha$. Для этого возьмём предельную скорость падения человека, равную $v_{пр} \approx 60\text{м/с}$ (измеренная предельная скорость парашютиста), тогда по 2-му закону Ньютона предельная сила сопротивления $F_{пр}$ равна по модулю силе mg . Взяв $v_0 \approx 3\text{м/с}$ (можно оценить по собственному прыжку), найдём отношение максимальной силы сопротивления при данном прыжке F_0 к предельной:

в случае турбулентного обтекания $\frac{F_0}{mg} = \frac{F_0}{F} = \frac{kv_0^2}{kv^2} = \left(\frac{v_0}{v}\right)^2 \approx \frac{1}{400}$;

в случае ламинарного обтекания $\frac{F_0}{mg} = \frac{F_0}{F} = \frac{kv_0}{kv} = \frac{v_0}{v} \approx \frac{1}{20}$.

Можем видеть, что при любом обтекании даже максимальная сила сопротивления мала по сравнению с силой тяжести, и ей можно пренебречь.

Стоит отметить, что для животных, способных прыгать с большой начальной скоростью (например, небольших насекомых) сила сопротивления может играть значительную роль.

Размеры тела

Примем за l характерный размер тела. Очевидно, его масса пропорциональна кубу размера: $m \sim l^3$. Сила F , которую способны создать мышцы тела, пропорциональна давлению p , возникающему вследствие веса тела, и площади сечения мышц S . Давление имеет верхний предел, поскольку начиная с некоторого значения массы тела кости и мышцы не выдержат нагрузки, поэтому можем считать давление постоянным для любой массы тела. Площадь S же пропорциональна квадрату размера: $S \sim l^2$, отсюда $F \sim l^2$. Тогда работа, совершаемая мышцами при прыжке и пропорциональная Fl (мышцы "проходят" большее расстояние при большем размере), будет так же, как и масса, пропорциональна кубу размера. Отсюда можно сделать вывод, что начальная кинетическая энергия тела на единицу массы, т.е. $v_0^2/2$, не зависит от размера. Как следствие, v_0 не зависит от размеров тела, так же как и высота прыжка.

Данное рассуждение справедливо, если для людей верны приведенные пропорциональности. Если человек, например, обладает излишней массой, то начальная скорость прыжка будет все же меньше, нежели у человека такого же роста с нормальной массой тела. Как следствие, такой человек сможет прыгнуть не так высоко.

3.8

В чём состоит (утверждает) Общая теория относительности?

Введение

Создание специальной теории относительности в значительной мере изменило вид классической механики. Однако, в ней постулат относительности всё ещё ограничивается необходимостью выбора исключительного класса инерциальных систем отсчёта, двигающихся друг относительно друга равномерно и прямолинейно. Таким образом, становится вполне понятно, что общеквариантные уравнения должны быть лишены этого ограничения, т. е. в общей теории должна быть возможность произвольного выбора координат.

Так как в гравитационных полях пробные тела вне зависимости от их массы двигаются одинаковым образом, то вполне логично рассматривать такое движение как простое движение вдоль геодезических линий в криволинейном пространстве.

Общая теория относительности позволяет описать данные эффекты, будучи записанной при этом с помощью общековариантных уравнений, что решает вышепоставленные проблемы.

Движение в гравитационном поле

Свойства пространства задаются метрическим тензором g_{ij} . Если тензор g_{ij} получен в результате решения полевых уравнений, то уравнения движения частицы определяются варьированием действия для частицы.

$$\delta S = -mc \delta \int ds = 0$$

Из чего получаем уравнения движения:

$$Du^i = 0$$

$$\frac{d^2 x^i}{ds^2} + {}^i_{jk} \frac{dx^j}{ds} \frac{dx^k}{ds} = 0$$

где D - ковариантный дифференциал, а ${}^i_{jk}$ - символ Кристоффеля:

$${}^i_{jk} = \frac{1}{2} g^{im} (\partial_j g_{km} + \partial_k g_{jm} - \partial_m g_{jk})$$

Решая их, можно получить уравнения движения частицы

Уравнения поля

Для получения уравнений поля следует с начала определить тензор кривизны пространства (тензор Римана). Рассмотрим изменение вектора A_k при параллельном переносе его вдоль бесконечно малого контура:

$$\begin{aligned} \Delta A_k &= \oint \delta A_k = \oint {}^i_{kl} A_i dx^l = \frac{1}{2} [\partial_l ({}^i_{km} A_i) - \partial_m ({}^i_{kl} A_i)] \Delta S^{lm} = \\ &= \frac{1}{2} [\partial_l ({}^i_{km}) A_i - \partial_m ({}^i_{kl}) A_i + ({}^i_{km}) \partial_l A_i - ({}^i_{kl}) \partial_m A_i] \Delta S^{lm} = \\ &= \frac{1}{2} R^i_{klm} A_i \Delta S^{lm} \end{aligned}$$

где

$$R^i_{klm} = \partial_l ({}^i_{km}) - \partial_m ({}^i_{kl}) + {}^n_{km} {}^i_{nl} - {}^n_{kl} {}^i_{nm}$$

Соответственно тензором Риччи и символом Риччи называются свертки тензора кривизны:

$$\begin{aligned} R_{km} &= R^l_{klm} = \partial_l ({}^l_{km}) - \partial_m ({}^l_{kl}) + {}^n_{km} {}^l_{nl} - {}^n_{kl} {}^l_{nm} \\ R &= g^{km} R_{km} \end{aligned}$$

Действие S_g для гравитационного поля должно быть выражено в виде некоторого скалярного интеграла по инвариантному гиперобъёму:

$$S_g = \int G \sqrt{-g} d^4 x$$

причём G не должно содержать никаких производных g_{ij} выше первого порядка, т.е. G - функция только g_{ij} и $\frac{k}{ij}$. Требуемый истинный скаляр составить при данных условиях невозможно, однако, следующий инвариантный интеграл представим в виде:

$$\int R\sqrt{-g}d^4x = \int G\sqrt{-g}d^4x + \int \partial_i(\sqrt{-g}w^i)d^4x$$

где последний член при варьировании действия зануляется. Опуская полную производную в выражении $\sqrt{-g}R$ получаем искомый вид G :

$$G = g^{ik}(\frac{ml}{il km} - \frac{l}{ik lm})$$

Теперь, для получения уравнений поля остаётся проварьировать суммарное действие системы:

$$(\delta S_m + \delta S_g) = 0$$

Для δS_g элементарными преобразованиями получаем:

$$\delta S_g \propto \delta \int R\sqrt{-g}d^4x = \int (R_{ij} - \frac{1}{2}g_{ij}R)\delta g^{ik}\sqrt{-g}d^4x$$

Вариация действия для материи выражается через тензор энергии-импульса следующим образом:

$$\delta S_m = \frac{1}{2c} \int T_{ij}\delta g^{ij}\sqrt{-g}d^4x$$

Таким образом, искомые уравнения Эйнштейна имеют вид:

$$R_{ij} - \frac{1}{2}g_{ij}R = \chi T_{ij}$$

$$R_{ij} = \chi(T_{ij} - \frac{1}{2}g_{ij}T)$$

где $\chi = \frac{8\pi k_G}{c^4}$ - гравитационная постоянная Эйнштейна, зависящая от выбора системы единиц.

Теперь, имея уравнения поля мы можем качественно рассчитывать поле произвольных физических систем.

Стоит заметить, что уравнения Эйнштейна нелинейны, т.е. в ОТО не справедлив принцип суперпозиции.

Законы сохранения

В специальной теории относительности 4-импульс системы можно выразить через тензор энергии-импульса следующим образом:

$$P^i = \frac{1}{c} \int T^{ik} dS^k$$

В ОТО к выражению нужно добавить псевдотензор энергии-импульса гравитационного поля t^{ik} :

$$P^i = \frac{1}{c} \int (-g)(T^{ik} + t^{ik})dS^k$$

$$t^{ik} = \frac{\chi}{-2g} \{ \partial_l \partial_m [(-g)(g^{ik}g^{lm} - g^{il}g^{km})] + g^{ik}R - 2R^{ik} \}$$

Путём элементарных вычислений получаем выражение t^{ik} через символы Кристоффеля:

$$t^{ik} = \frac{\chi}{2} \{ (g^{il} g^{km} - g^{ik} g^{lm}) (2^{n \ p}_{lmnp} - l^{n \ p}_{pmn} - n^{n \ p}_{lnmp}) + \\ + g^{il} g^{mn} (l^{k \ p}_{pmn} + m^{k \ p}_{mnlp} - n^{k \ p}_{nplm} - l^{k \ p}_{lmnp}) + \\ + g^{kl} g^{mn} (l^{i \ p}_{pmn} + m^{i \ p}_{mnlp} - n^{i \ p}_{nplm} - l^{i \ p}_{lmnp}) + \\ + g^{lm} g^{np} (l^{i \ k}_{lnmp} - l^{i \ k}_{lmnp}) \}$$

В силу того, что определённый таким образом t^{ik} симметричен, сохраняется тензор момента импульса системы:

$$M^{ij} = \int [x^i (T^{jk} + t^{jk}) - x^j (T^{ik} + t^{ik})] (-g) dS_k$$

Что также позволяет определить центр инерции.

Точные решения

В силу нелинейности уравнений Эйнштейна их решение представляет собой весьма сложную задачу, и получение каждого точного решения является весьма сложной, с точки зрения математики, задачей. Одним из простейших решений, является метрика Шварцшильда, описывающая поле снаружи невращающегося сферически симметричного незаряженного тела. Приведём её в качестве примера:

$$g_{SC} = \begin{pmatrix} (1 - \frac{r_s}{r}) & 0 & 0 & 0 \\ 0 & -(1 - \frac{r_s}{r})^{-1} & 0 & 0 \\ 0 & 0 & -r^2 & 0 \\ 0 & 0 & 0 & -r^2 \sin^2 \theta \end{pmatrix}$$

В данной метрике очевидны такие эффекты как замедление хода часов и изменение геометрических размеров предметов в гравитационном поле, не присутствующие в теории тяготения Ньютона.

3.9

Исследование вынужденной регулярной прецессии гироскопа.

Оценим время, которое требуется фотону, чтобы вылететь из Солнца, таким образом: положим томсоновское рассеяние на свободном электроне самым распространённым типом рассеяния фотонов в недрах Солнца, его эффективное сечение $\sigma = 7 \cdot 10^{-29} \text{ м}^2$.

Для оценки положим концентрацию электронов n_e не зависящей от глубины. Длина свободного пробега фотона $\lambda = \frac{1}{n_e \sigma} = 2 \text{ см}$.

Вследствие многократного рассеяния, путь фотона выглядит как случайное блуждание. Тогда время, за которое фотон переместится на радиус Солнца R , читается так: $T = \frac{R^2}{\lambda c} = 10^3 \text{ лет}$.

Полученная оценка является несколько заниженной. В действительности, конечно, томсоновский механизм реализуется в глубоких слоях Солнца, где концентрация электронов существенно выше средней, а при более низких температурах возможны более эффективные взаимодействия с веществом.

Источник: задача со сборов к международной олимпиаде по астрофизике.

4.3

Лагранжиан стандартной модели.

$$L = -\frac{1}{4} F_{\mu\nu} F^{\mu\nu} + i \bar{\psi} \not{D} \psi + h.c. + \psi_i y_{ij} \psi_j \phi + h.c. + |D_\mu \phi|^2 - V(\phi)$$

4.4

Чем отличается темная материя от темной энергии?

Тёмная материя — гипотетическая форма материи, не участвующая в электромагнитном взаимодействии и поэтому недоступная прямому наблюдению. Составляет порядка четверти массы-энергии Вселенной и проявляется только в гравитационном взаимодействии. Понятие тёмной материи введено для теоретического объяснения проблемы скрытой массы в эффектах аномально высокой скорости вращения внешних областей галактик и гравитационного линзирования (в них задействовано вещество, масса которого намного превышает массу обычной видимой материи); среди прочих предложенных оно наиболее удовлетворительно.

Тёмная энергия — гипотетический вид энергии, введённый в математическую модель Вселенной ради объяснения наблюдаемого её расширения с ускорением. Существует три варианта объяснения сущности тёмной энергии:

1. тёмная энергия есть космологическая константа — неизменная энергетическая плотность, равномерно заполняющая пространство Вселенной (другими словами, постулируется ненулевая энергия и давление вакуума).
2. тёмная энергия есть некая квинтэссенция — динамическое поле, энергетическая плотность которого может меняться в пространстве и времени.
3. тёмная энергия есть модифицированная гравитация на расстояниях порядка размера видимой части Вселенной.

4.6

Решается ли уравнение $(x^5 - a^2)^3 = b$ в радикалах и чему равна его группа Галуа?

Разрешимость

Уравнение $(x^5 - a^2)^3 = b$ разрешимо в радикалах. В качестве доказательства предоставим его решение:

$$(x^5 - a^2)^3 = b$$

$$x^5 - a^2 = \sqrt[3]{b} e^{\frac{2\pi i n}{3}}, n \in \{0, 1, 2\}$$

$$x^5 = a^2 + \sqrt[3]{b} e^{\frac{2\pi i n}{3}}, n \in \{0, 1, 2\}$$

$$x = \sqrt[5]{a^2 + \sqrt[3]{b} e^{\frac{2\pi i n}{3}} e^{\frac{2\pi i m}{5}}}, n \in \{0, 1, 2\}, m \in \{0, 1, 2, 3, 4\}$$

Таким образом, найдены ровно 15 корней многочлена, который имеет степень, равную 15, то есть все корни выражены через радикалы.

Группа Галуа

Как известно, уравнение разрешимо тогда и только тогда, когда его группа Галуа разрешима. Покажем это. Расширением Гаула будет являться \mathbb{L}/\mathbb{R} , где $\mathbb{L} = \mathbb{K}(a^2 + \sqrt[3]{b}(1 - i\sqrt{3}), a^2 + \sqrt[3]{b}(1 + i\sqrt{3}))$, а $\mathbb{K} = \mathbb{R}(i)$. Поле \mathbb{L} разрешимо, поскольку $\mathbb{L} \supseteq \mathbb{K} \supseteq \mathbb{R}$. Фактически, \mathbb{L}/\mathbb{K} и \mathbb{K}/\mathbb{Q} являются расширениями Галуа. Интересующая нас группа Гаула это $G(\mathbb{L}/\mathbb{Q}) = S_4$. Известно также, что S_n при $n < 5$ разрешима, таким образом уравнение действительно разрешимо в радикалах.

4.7

Конформационная структура белка - разные уровни и их роль.

Последовательность аминокислотных остатков в полипептидной цепи называется первичной структурой белка. Цепочка из аминокислот не будет находиться в растворе в полностью вытянутой форме, обычно

она складывается в более сложные структуры. Кислород группы C=O может образовывать водородную связь с водородом группы N-H, расположенной в другой аминокислоте. За счёт таких водородных связей формируется вторичная структура белка.

Укладка белков обычно не ограничивается вторичной структурой. Между аминокислотными остатками возникают различные слабые связи. Например, между -COO^- -группами кислых аминокислот и NH_3^+ -группами лизина может возникнуть электростатическое притяжение. Между атомами кислорода или азота одних гидрофильных аминокислот и атомами водорода других могут образоваться водородные связи. Гидрофобные аминокислотные остатки "стремятся" укрыться от водного окружения внутри белковой молекулы. Некоторую роль играют также ван-дер-ваальсовы взаимодействия (они обеспечивают слабое притяжение любых атомов с электронными оболочками). Имеются и ковалентные связи, стабилизирующие третичную структуру белка, - это т. н. дисульфидные мостики -S-S- , образующиеся между двумя остатками аминокислоты цистеина: $\text{R-SH} + \text{R-SH} - 2\text{H} = \text{R-S-S-R}$. Благодаря всем этим взаимодействиям - гидрофобным, ионным, водородным, ван-дер-ваальсовым и дисульфидным - белковая цепочка образует сложную пространственную конфигурацию, называемую третичной структурой.

Многие белки (их называют олигомерными) состоят не из одной, а из нескольких полипептидных цепочек - так, белок крови гемоглобин состоит из четырех цепей. Совокупность их образует четвертичную структуру белка, при этом отдельные цепочки называются субъединицами. Четвертичная структура удерживается теми же связями, что и третичная. Пространственная конфигурация белка (т. е. его третичная и четвертичная структура) называется конформацией. Все более высокие уровни организации белковой молекулы определяются первичной структурой данного белка (постулат Полинга-Афинсена).

4.8

В чём состоит (утверждает) теория Калуцы-Клейна?

Введение

К 1916 году Альберт Эйнштейн заканчивает создание Общей теории относительности, получившей впоследствии небывалый успех. Теория смогла предсказать множество не имеющих до этого момента объяснения явлений, таких как "прецессия перигелия орбиты Меркурия" и "космологическое красное смещение". Элегантно объединяя в себе уравнения гравитационного поля и уравнения движения, теория, тем не менее, никак не объясняла наличие других фундаментальных взаимодействий.

В апреле 1919 года А. Эйнштейн получает письмо малоизвестного математика Теодора Калуцы, в котором тот предлагает модель, претендующую на объединение ОТО и классической теории Максвелла. Последующая разработка этой теории множеством знаменитых учёных XX века привела к созданию первой внутренне непротиворечивой теории объединения, однако, не имевшей экспериментального подтверждения. Тем не менее, в дальнейшем идеи Калуцы нашли продолжение в дальнейшем.

Основные идеи

Основной идеей является предложение дополнить криволинейное пространство Эйнштейна компактным пятым измерением:

$$\tilde{g}_{ab} = \begin{pmatrix} g_{\mu\nu} + \phi^2 A_\mu A_\nu & \phi^2 A_\mu \\ \phi^2 A_\nu & \phi^2 \end{pmatrix}$$

Где \tilde{g}_{ab} - пятимерный метрический тензор с латинскими индексами соответственно, $g_{\mu\nu}$ - обычный четырёхмерный метрический тензор ОТО, индексируемый греческим алфавитом. Как мы увидим впоследствии, величины A_μ следует отождествлять с компонентами 4-потенциала электромагнитного поля. Тогда ковариантный метрический тензор

$$\tilde{g}^{ab} = \begin{pmatrix} g^{\mu\nu} & -A^\mu \\ -A^\nu & g_{\alpha\beta} A^\alpha A^\beta + \frac{1}{\phi^2} \end{pmatrix}$$

Таким образом, метрика будет иметь вид:

$$ds^2 = \tilde{g}_{ab} dx^a dx^b = g_{\mu\nu} dx^\mu dx^\nu + \phi^2 (A_\nu dx^\nu + dx^5)^2$$

Уравнения поля в вакууме

Для упрощения уравнений обычно принимается условие цилиндра:

$$\frac{\partial \tilde{g}_{ab}}{\partial x^5} = 0$$

По аналогии с ОТО вводим символы Кристоффеля, тензор Риччи и действие для поля:

$$\begin{aligned}\tilde{\kappa}_{bc}^a &= \frac{1}{2} \tilde{g}^{ad} (\partial_b \tilde{g}_{dc} + \partial_c \tilde{g}_{db} - \partial_d \tilde{g}_{bc}) \\ \tilde{R}_{ab} &= \partial_c \tilde{\kappa}_{ab}^c - \partial_b \tilde{\kappa}_{ca}^c + \tilde{\kappa}_{cdab}^c - \tilde{\kappa}_{bdac}^c \\ S_g &= \int \tilde{R}_{ab} \tilde{g}^{ab} \sqrt{|\tilde{g}|} d^5 x\end{aligned}$$

Варьирование этой части действия даёт

$$\tilde{R}_{ab} - \frac{1}{2} \tilde{g}_{ab} \tilde{R} = 0$$

Или в четырёхмерной форме:

$$R_{\mu\nu} - \frac{1}{2} g_{\mu\nu} R = \frac{1}{2} \phi^2 (g^{\alpha\beta} F_{\mu\alpha} F_{\nu\beta} - \frac{1}{4} g_{\mu\nu} F_{\alpha\beta} F^{\alpha\beta}) + \frac{1}{\phi} (\nabla_\mu \nabla_\nu \phi - g_{\mu\nu} \square \phi)$$

Где $F_{\mu\nu} = \partial_\mu A_\nu - \partial_\nu A_\mu$

Заметим, что при выборе ϕ в качестве постоянной левая часть уравнения переходит в тензор энергии - импульса электромагнитного поля, т. е. уравнение находится в полном соответствии с уравнениями Эйнштейна в вакууме.

Уравнения движения

Определим 5-скорость:

$$\tilde{U}^a = \frac{dx^a}{ds}$$

Уравнения движения примут вид:

$$\tilde{U}^b \nabla_b \tilde{U}^a = \frac{d\tilde{U}^a}{ds} + \tilde{\kappa}_{bc}^a \tilde{U}^b \tilde{U}^c$$

Можно показать, что данные уравнения содержат в себе как и движение в электромагнитном поле в общей теории относительности, так и силу Лоренца. Не менее интересен ещё один результат, непосредственно вытекающий из данной системы. Выполнение уравнений движения требует того, чтобы удельный заряд частиц $\frac{q}{m}$ был пропорционален $\frac{dx^5}{ds_4}$, где в данном случае под ds_4 подразумевается $ds_4 = g_{\mu\nu} dx^\mu dx^\nu$ четырёхмерный интервал. Таким образом, мы получаем, что заряд частицы определяется "скоростью" её движения в пятом измерении.

Тензор энергии-импульса

В заключение, нужно определить тензор энергии-импульса материи. По аналогии с СТО и ОТО

$$\tilde{T}^{ab} = \rho \frac{dx^a}{ds} \frac{dx^b}{ds}$$

Сравнивая результат такого определения с ОТО, мы понимаем, что пространственные компоненты дают обычным тензор энергии частиц, а компоненты вида $T^{5\mu}$ следуют отождествить с энергией электромагнитного поля этих частиц.

Скалярное поле

В течение всего обзора мы никак не акцентировали внимание на роли, которую играет в этой теории величина ϕ составляющая некоторое скалярное поле. Выбирая её константой, мы ограничиваем "электромагнитное поле так как на связь ϕ и $F_{\mu\nu}$ существуют дополнительные уравнения. Данный факт не был учтён в ранних работах Калуцы-Клейна, что представляло собой некоторое заблуждение.

До сих пор нужное скалярное поле не было обнаружено экспериментально, из-за чего теорию нельзя считать подтверждённой.

Развитие

На данный момент гипотеза Калуцы-Клейна не считается перспективной, однако, в своё время она послужила началом построения многомерных теорий объединения и теорий супергравитаций, таких как теория струн или М - теория.

4.9

Что такое джозефсоновский контакт?

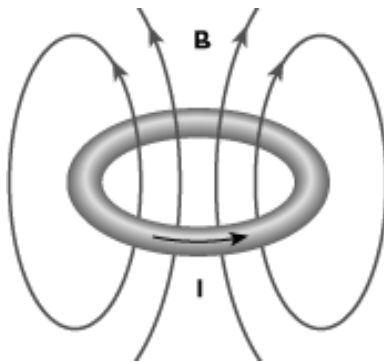


Рис. 1.

Незатухающий ток и создаваемое им магнитное поле не могут иметь произвольную величину, они квантуются так, что магнитный поток, пронизывающий кольцо, принимает значения, кратные элементарному кванту потока

Туннельный эффект - это типичная задача квантовой механики. Частица (например, электрон в металле) подлетает к барьеру (например, к слою диэлектрика), преодолеть который она по классическим представлениям никак не может, так как ее кинетическая энергия недостаточна, хотя в области за барьером она со своей кинетической энергией вполне могла бы существовать. Напротив, согласно квантовой механике, прохождение барьера возможно. Частица с некоторой вероятностью может как бы пройти по туннелю через классически запрещенную область, где ее потенциальная энергия как бы больше полной, то есть классическая кинетическая энергия как бы отрицательна. На самом деле с точки зрения квантовой механики для микрочастицы (электрона) справедливо соотношение неопределенностей $\Delta x \Delta p > \hbar$ (x - координата частицы, p - ее импульс). Когда малая неопределенность ее координаты в диэлектрике $\Delta x = d$ (d - толщина слоя диэлектрика) приводит к большой неопределенности ее импульса $\Delta p \geq \hbar/\Delta x$, а следовательно, и кинетической энергии $p^2/(2m)$ (m - масса частицы), то закон сохранения энергии не нарушается. Опыт показывает, что действительно между двумя металлическими обкладками, разделенными тонким слоем диэлектрика (туннельный переход), может протекать электрический ток тем больший, чем тоньше диэлектрический слой.

Джозефсон рассматривал частный случай туннельного эффекта - туннелирование куперовских пар - и предсказал существование двух эффектов. Первый из них состоит в том, что через туннельный переход с тонким слоем диэлектрика, когда его толщина меньше или порядка длины когерентности, возможно протекание сверхпроводящего тока, то есть тока без сопротивления. Это стационарный эффект Джозефсона. Предсказывалось, что критическое значение этого тока будет своеобразно зависеть от внешнего магнитного поля. Если ток через такой переход станет больше критического, то переход будет источником высокочастотного электромагнитного излучения. Это нестационарный эффект Джозефсона.

Понадобилось немного времени, чтобы обнаружить эти эффекты экспериментально. Более того, вскоре стало ясно, что эффекты Джозефсона присущи не только туннельным переходам, но и более широкому классу объектов - сверхпроводящим слабым связям, то есть участкам сверхпроводящей цепи, в которых критический ток существенно подавлен, а размер участка порядка длины когерентности.

В основе эффектов Джозефсона лежат квантовые свойства сверхпроводящего состояния. Действительно, сверхпроводящее состояние характеризуется когерентностью куперовских пар: эти пары электронов находятся на одном квантовом уровне и описываются общей для всех пар волновой функцией, ее амплитудой и фазой. Они когерентны как частицы света - фотоны в излучении лазера, которое также характеризуется амплитудой и фазой электромагнитной волны.

Представим теперь себе два массивных куска одного и того же сверхпроводника, полностью изолированных друг от друга. Так как оба они находятся в сверхпроводящем состоянии, каждый из них будет характеризоваться своей волновой функцией. Поскольку материалы и температуры одинаковы, модули обеих волновых функций должны совпадать, а фазы произвольны. Однако, если установить между ними хотя бы слабый контакт, например туннельный, куперовские пары будут проникать из одного куска в другой и установится фазовая когерентность. Возникнет единая волновая функция всего сверхпроводника, которую можно рассматривать как результат интерференции волновых функций двух половинок. Представим теперь себе два массивных куска одного и того же сверхпроводника, полностью изолированных друг от друга. Так как оба они находятся в сверхпроводящем состоянии, каждый из них будет характеризоваться своей волновой функцией. Поскольку материалы и температуры одинаковы, модули обеих волновых функций должны совпадать, а фазы произвольны. Однако, если установить между ними хотя бы слабый контакт, например туннельный, куперовские пары будут проникать из одного куска в другой и установится фазовая когерентность. Возникнет единая волновая функция всего сверхпроводника, которую можно рассматривать как результат интерференции волновых функций двух половинок.

Квантовая интерференция

Уже в первом эксперименте было обнаружено, что максимальный сверхпроводящий ток I_c в магнитном поле, параллельном плоскости контакта, немонотонно зависит (с периодом, равным кванту потока Φ_0) от величины магнитного потока Φ , проникающего в контакт. Эта зависимость показана тут:

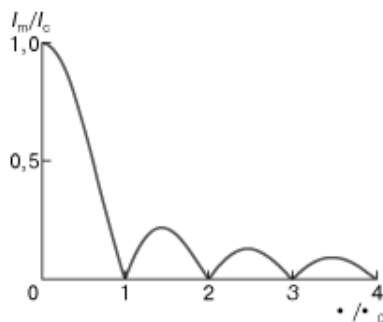


Рис. 2.

Зависимость критического тока I_m (нормированного на критический ток при отсутствии поля I_c) джозефсоновского контакта от величины потока внешнего магнитного поля.

Как видно из рисунка, в случае, когда поток равен целому числу квантов Φ_0 , происходит компенсация токов, текущих в противоположные стороны в разных точках контакта, и результирующий критический ток оказывается равным нулю. Этот график аналогичен зависимости интенсивности света на экране при дифракции на одиночной щели от расстояния до центральной точки и наглядно демонстрирует волновые свойства сверхпроводящих токов.

Чтобы рассмотрение этого явления стало более простым, включим туннельный контакт в сверхпроводящий контур (кольцо). Магнитный поток через площадь сверхпроводящего кольца (не содержащего контакта) строго постоянен. Его значение, как уже говорилось, квантуется. Оно равно целому числу квантов Φ_0 , и изменить его, не переводя кольцо в нормальное состояние, невозможно. Но если кольцо содержит слабую связь, то магнитный поток может меняться - кванты потока проникают в контур через это слабое место. Посмотрим, как при изменении внешнего магнитного поля меняется величина потока Φ и тока I в кольце со слабой связью. Пусть сначала внешнее поле и ток в контуре равны нулю (рис. 3, а). Поток Φ при этом тоже равен нулю. Увеличим внешнее поле - по закону индукции Фарадея в контуре появится сверхпроводящий ток, своим магнитным полем по закону Ленца компенсирующий внешний поток. Так будет происходить, пока ток в контуре не станет равным критическому току контакта I_c (рис. 3, б). Для простоты рассмотрения выберем площадь кольца такой, чтобы при $I = I_c$ внешнее поле создавало поток Φ , равный половине кванта потока: $\Phi = \Phi_0/2$.

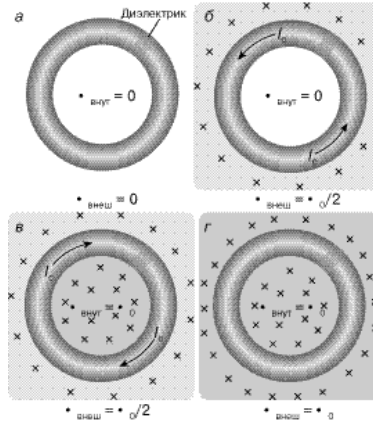


Рис. 3.

Сверхпроводящий контур с джозефсоновским элементом во внешнем магнитном поле.

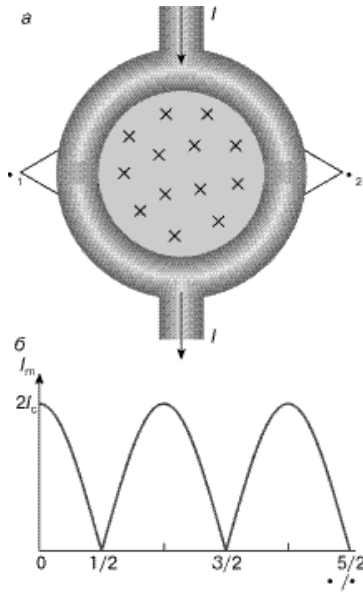


Рис. 3.

Сверхпроводящий контур с джозефсоновским элементом во внешнем магнитном поле.

Как только ток станет больше I_c , сверхпроводимость в контакте нарушится и в контур войдет квант потока Φ_0 (рис. 3, в). При этом отношение Φ/Φ_0 скачком увеличится на единицу, а направление тока изменится на противоположное, хотя его величина останется прежней I_c . Действительно, если до вхождения кванта потока Φ_0 ток I_c полностью экранировал внешний поток $\Phi = \Phi_0/2$, то после вхождения он должен усилиться внешний поток $\Phi_0/2$ до значения Φ_0 . Таким образом, контур перешел в новое квантовое состояние. При дальнейшем увеличении внешнего поля ток в кольце будет уменьшаться, а поток будет оставаться равным Φ_0 . Ток обратится в нуль, когда внешний поток станет равным Φ_0 (рис. 3, г), а затем ток потечет в обратном направлении, частично экранируя внешний поток. При внешнем потоке $3\Phi_0/2$ ток опять станет равным I_c , сверхпроводимость нарушится, войдет следующий квант потока и т.д. Ступенчатый характер рассмотренных зависимостей позволяет почувствовать отдельные кванты потока, а ведь эта величина очень мала, всего лишь порядка $2 \cdot 10^{-15}$ Вб. Особенно ярко когерентные свойства сверхпроводящего состояния проявляются при включении в контур двух джозефсоновских контактов (рис. 4, а). Полный ток I при этом определяется интерференцией токов, протекающих через контакты:

$$I_m = I_c \sin \varphi_1 + I_c \sin \varphi_2,$$

где φ_1 и φ_2 - скачки фаз волновых функций на переходах, а критические токи обоих контактов для простоты взяты одинаковыми и равными I_c .

В результате критический ток I_m периодически зависит от внешнего магнитного поля и обращается в нуль, когда поток равен полуцелому числу квантов (рис. 4, б). Эта зависимость в точности соответствует оптическому аналогу - зависимости интенсивности света на экране от расстояния при дифракции на двух щелях.

Применение Экспериментальные образцы приборов с контактом Джозефсона могут обнаруживать напряжения порядка 10^{-15} В. Магнитометры, способные обнаруживать магнитные поля порядка 10^{-13} Тл, ис-

пользуются при изучении магнитных материалов, а также в медицинских магнитокардиографах. Чрезвычайно чувствительные детекторы вариаций силы тяжести могут применяться в различных областях геофизики. Техника сверхпроводимости и особенно контакты Джозефсона оказывают все большее влияние на метрологию. С помощью джозефсоновских контактов создан стандарт 1 В (об этом ниже). Был разработан также первичный термометр для криогенной области, в которой резкие переходы в некоторых веществах используются для получения реперных (постоянных) точек температуры. Новая техника используется в компараторах тока, для измерений радиочастотной мощности и коэффициента поглощения, а также для измерений частоты. Она применяется также в фундаментальных исследованиях, таких, как измерение дробных зарядов атомных частиц и проверка теории относительности.

Сверхпроводниковый суперкомпьютер Идея использования джозефсоновских переходов в качестве элементной базы компьютеров появилась уже довольно давно. И если задача получения малых размеров переходов (плотность упаковки) и малого тепловыделения (в сверхпроводящем состоянии тепло вообще не рассеивается) довольно легко решается, то сверхвысокого быстродействия достичь долго не удавалось. Принципиально новое решение этой проблемы было впервые предложено в группе профессора К.К. Лихарева в МГУ. Для обработки и запоминания информации здесь используется квант магнитного потока, то есть ноль и единица - отсутствие или наличие в джозефсоновской ячейке одного кванта потока. Логические элементы с джозефсоновскими переходами, в которых проводится квантование магнитного потока, называются квантронами. Расчеты и эксперименты показывают, что квантроны обладают очень высоким быстродействием, достигающим значений 10^{12} операций в секунду. Однако они не подчиняются традиционным правилам схемотехники и их следует применять в схемах нового типа. Здесь информация передается от одного элемента к другому с помощью кванта магнитного потока, поэтому обязательным условием является близкое расположение элементов. Характерные расстояния, разделяющие при этом элементы, достигают величин порядка десятых долей микрона. Такие схемы выгодно применять, например, при создании регистров сдвига - устройств с передачей информации вдоль периодической структуры элементов логики, причем информация смещается на единичный период при введении или изъятии единичного кванта потока. Установка на основе эффекта Джозефсона для воспроизведения единицы напряжения постоянного тока

Во ВНИИФТРИ создана установка на основе матрицы джозефсоновских переходов для воспроизведения единицы напряжения постоянного тока. Установка предназначена для калибровки и поверки многоразрядных аналого-цифровых преобразователей (АЦП) в интегральном исполнении, может также использоваться для калибровки и поверки высокоточных мер напряжения и цифровых вольтметров. Основным элементом установки является матрица джозефсоновских переходов, изготовленная в РТВ (Германия). Использование эффекта Джозефсона обеспечивает высокую точность воспроизведения напряжения. Установка состоит из криозонда с джозефсоновской матрицей, СВЧ генератора (длина волны 4 мм) с системой фазовой автоподстройки частоты, рубидиевого стандарта частоты, характериографа, транспортируемого гелиевого дуара.

5.3

Почему уравнения движения для фермионов первого порядка?

Движение фермионов описывается уравнениями Дирака, которые являются релятивистским обобщением **уравнения Шредингера**:

$$i\hbar \frac{\partial}{\partial t} \Psi = \hat{H}(p, q) \Psi \quad (2)$$

В уравнении Шредингера стоит первая производная по времени, потому что по теореме Нетер гамильтониан-величина, сохраняющаяся при инвариантности системы относительно трансляций по времени (а генератором трансляций по времени выступает оператор производной по времени).

Однако уравнение Шредингера не удовлетворяет принципам СТО так как оно не инвариантно относительно преобразований Лоренца (тк вторые производные по координатам и первая по времени). Поэтому его релятивистское обобщение имеет вид:

$$i\hbar \frac{\partial \psi}{\partial t} = \left[c \left(\alpha_x \frac{\partial}{\partial x} + \alpha_y \frac{\partial}{\partial y} + \alpha_z \frac{\partial}{\partial z} \right) + \beta mc^2 \right] \psi. \quad (3)$$

5.5

Когда и почему постоянна скорость прецессии?

Вынужденная прецессия гироскопа вызывается моментом внешних сил, поворачивающих момент импульса гироскопа, согласно уравнению

$$\dot{\vec{L}} = \vec{M}.$$

Момент импульса гироскопа, равный $\vec{L} = \hat{I}\vec{\omega}$, можно разложить по двум осям:

$$\vec{L} = I_{||}\vec{\omega}_{||} + I_{\perp}\vec{\omega}_{\perp},$$

где $I_{||}\vec{\omega}_{||}$ – компонента вектора импульса, направленная вдоль оси фигуры гироскопа, а $I_{\perp}\vec{\omega}_{\perp}$ – вдоль оси, перпендикулярной к оси фигуры.

В приближённой теории гироскопа мы считаем, что $I_{||}\omega_{||} \gg I_{\perp}\omega_{\perp}$ (гироскоп быстро вращается вокруг оси фигуры), и, как следствие, $\vec{L} \approx I_{||}\vec{\omega}_{||} \approx I_{||}\vec{\omega}$, т.е. \vec{L} и $\vec{\omega}$ сонаправлены.

Пусть внешняя сила F приложена к точке, лежащей на оси фигуры гироскопа; \vec{r} – радиус-вектор, проведённый от точки опоры гироскопа к точке приложения F . Момент этой силы будет $\vec{M} = [\vec{r}, \vec{F}]$. Тогда, в силу уравнения $\dot{\vec{L}} = \vec{M}$, $\dot{\vec{L}}$ будет перпендикулярен к оси фигуры, т.е. под влиянием момента внешней силы будет изменяться направление \vec{L} , а не его модуль – это и есть явление прецессии. Найдём угловую скорость $|\vec{\omega}_{\text{пр}}|$ этого вращения.

Так как \vec{L} изменяется не по модулю, а только по направлению, то можем представить, что \vec{L} – радиус-вектор некоторой точки. Тогда линейная скорость этой точки $\dot{\vec{L}}$ будет равна $[\vec{\omega}_{\text{пр}}, \vec{L}]$, отсюда получаем

$$[\vec{\omega}_{\text{пр}}, \vec{L}] = \dot{\vec{L}}.$$

Пусть $\vec{\omega}_{\text{пр}}$ составляет угол α с \vec{L} . Тогда

$$\omega_{\text{пр}} L \sin \alpha = M = r F \sin \alpha$$

$$\omega_{\text{пр}} = \frac{rF}{L} = \frac{rF}{I_{||}\omega}.$$

Тогда ясно, что $\omega_{\text{пр}} = \text{const}$, когда $\frac{rF}{I_{||}\omega} = \text{const}$.

Данное рассуждение справедливо для быстро вращающегося гироскопа, т.е. $\omega_{||} \gg \omega_{\perp}, \omega_{\text{пр}}$.

5.6

Когда у двух полиномов есть общий корень?

Когда определитель их матрицы Сильвестра равен 0.

5.7

Что считается причиной болезни Альцгеймера?

В настоящий момент не установлены причины болезни Альцгеймера, однако существуют несколько основных конкурирующих гипотез:

1. Амилоидная гипотеза Согласно амилоидной гипотезе, причиной заболевания являются отложения бета-амилоида, вызывающие образование нейрофибриллярных клубков, гибель нейронов, и, как следствие – развитие деменции. Ген, кодирующий белок APP, из которого образуется бета-амилоид, расположен на 21 хромосоме. В поддержку данной гипотезы говорит тот факт, что у преобладающей части доживших до 40 лет больных Синдромом Дауна (дополнительная копия 21 хромосомы либо ее участка) обнаруживается сопутствующая Альцгеймеро-подобная патология.

2. Тау-гипотеза

Согласно тау-гипотезе, нарушения в работе головного мозга связаны с отклонениями в структуре тау-белка, вызывающими разрушение транспортной системы внутри нейрона, приводя к гибели клеток.

3. Холинергическая гипотеза

Первая из предложенных гипотез, согласно которой болезнь вызывается сниженным синтезом нейромедиатора ацетилхолина, однако сейчас считается маловероятной ввиду того, что медикаменты, способные скорректировать уровень ацетилхолина, имеют низкую эффективность.

4. Инфекционная гипотеза

Новейшая из основных гипотез, предполагающая связь болезни Альцгеймера с возбудителем периодонтита – болезни, связанной с воспалением соединительной ткани в щелевидном пространстве зуба. Возбудитель был обнаружен в мозге людей, погибших от болезни Альцгеймера; кроме того, в экспериментах на мышах эта инфекция приводила к колонизации мозга бактериями и увеличению выработки бета-амилоида, ассоциируемого с болезнью Альцгеймера.

Таким образом, наиболее вероятными причинами болезни Альцгеймера можно считать отложения бета-амилоида и/или деятельности в мозге возбудителя периодонтита.

5.8

Что такое конфайнмент? (в т.ч. формулы для межкварковой силы и вильсоновского среднего)?

Конфайнмент – явление в физике элементарных частиц, состоящее в невозможности получения кварков в свободном состоянии – в экспериментах наблюдаются только частицы, состоящие из двух (мезоны), трех (барионы), четырех (тетракварки) и пяти (пентакварки) кварков. Кварки в пределах адрона не могут удалиться друг от друга на расстояние, заметно превышающее радиус конфайнмента (порядка 1 фм).

Связь Вильсоновского среднего и Конфайнмента:

Вильсоновские средние. В квантовой теории поля рассматривают также понятие вильсоновского среднего. В теории возмущений эта величина определена как среднее от разложения в ряд вильсоновской линии:

$$\langle W_\gamma(A) \rangle \equiv \sum_{k=0}^{\infty} g^k \int_{\tilde{x}}^{\tilde{x}} dx_k^{i_1} \int_{\tilde{x}}^{x_1} dx_k^{i_2} \dots \int_{\tilde{x}}^{x_{k-1}} dx_k^{i_1} \langle A_{i_k}(x_k) \dots A_{i_2}(x_2) A_{i_1}(x_1) \rangle,$$

где все интегрирования производятся по линии γ .

В "Элементарное введение в физику элементарных частиц, Окунь Л.Б., 1985." на тему межкварковой силы написано: В гравитации и электродинамике мы привыкли к тому, что силы между частицами растут, когда частицы сближаются, и ослабевают, когда частицы расходятся (потенциалы типа $1/r$). В случае кварков ситуация другая. Имеется критический радиус $r_0 = 10^{-13}$ см, при $r < r_0$ потенциал похож на кулоновский или ньютоновский, но при $r > r_0$ его поведение резко меняется – он начинает стремительно расти.

5.10

Как (и почему так) меняется плотность атмосферы с высотой? (указать разные приближения)

1. Изотермическая атмосфера. Принимая температуру и ускорение свободного падения постоянными, а атмосферу - находящейся в динамическом равновесии, получим:

$$\rho(h) = \rho_0 \exp \left[-\frac{\mu g h}{RT} \right].$$

Эта модель не учитывает изменения температуры атмосферы с высотой.

2. Адиабатическая атмосфера. В модели адиабатической атмосферы в динамическом равновесии, плотность зависит от высоты так:

$$\rho(h) = \rho_0 \left(1 - \frac{\gamma - 1}{\gamma} \frac{\mu g h}{RT_0} \right)^{1/(\gamma - 1)}.$$

В этой модели температура линейно падает с высотой. В этой модели атмосфера должна закончиться на тридцати километрах над уровнем моря. Однако, на гораздо больших высотах наблюдаются метеоры и серебристые облака. Эта модель не учитывает отклонение зависимости температуры от высоты от прямой.

3. Обе формулы выше плохо описывают плотность атмосферы на больших высотах. Температура атмосферы зависит от высоты нетривиальным образом. Для более хорошего описания атмосферы существуют более точные модели, например, International Standard Atmosphere или US Standard Atmosphere. Фактически, эти модели представляют собой кусочно заданные функции, учитывающие сложное поведение зависимости температуры от высоты.

Источник: Wikipedia.